

تحلیل کمانش پوسته‌های استوانه‌یی هدف‌مند تحت بارگذاری محوری با روش بی‌شبکه‌ی محلی پتروف گلرکین

گلرکین براساس نظریه‌ی پوسته‌ی فلوگه

آزاده ارزگانی (دانشجوی دکتری)

رضاء صاری^{*} (استادیار)

منصور درویزه (استاد)

دانشکده‌ی هندسی مکانیک، دانشگاه گیلان

در این نوشتار روش بی‌شبکه‌ی محلی پتروف گلرکین MLPG^۱ برای تحلیل کمانش پوسته‌های استوانه‌یی هدف‌مند تحت بارگذاری محوری بررسی شده است. در این تحلیل معادلات میدان جایه‌جایی برمیانی نظریه‌ی فلوگه استخراج شده و پوسته متشکل از ترکیب پیوسته‌ی سرامیک و فلز فرض شده است. بنابراین مشخصات مکانیکی ماده‌ی تشکیل دهنده‌ی پوسته‌ی استوانه‌یی، مطابق با توزیع کسر حجمی توانی در راستای ضخامت تغییر می‌کند. معادلات پایداری حاکم بر پوسته به صورت عددی با روش MLPG حل شده است. بدین منظور فرم جدیدی از تابع تغییر طبق یک روش شبه معکوس در نظر گرفته شده که منجر به دست‌یابی ماتریس‌های سفتی شده و در نهایت بارهای بحرانی در شرایط مرزی مختلف محاسبه شده‌اند. نتایج حاصل از مطالعه‌ی تغییرات کسرهای حجمی، مشخصات هندسی پوسته، و شرایط تکیه‌گاهی مختلف به خوبی بیان‌گر همگرایی و دقیق‌ترین در روش مورد استفاده است.

azadeh.arjangpay@gmail.com
r_ansari@guilan.ac.ir
darvizeh@guilan.ac.ir

واژگان کلیدی: روش بی‌شبکه‌ی محلی پتروف گلرکین، کمانش محوری، پوسته‌های استوانه‌یی، نظریه‌ی فلوگه، مواد هدف‌مند.

۱. مقدمه

که یک سطح از جنس سرامیک خالص و یک سطح فلز خالص است و بین دو سطح ترکیب پوسته‌یی از هردو است.

در این مقاله کمانش کشسان پوسته‌های استوانه‌یی FGM تحت بارگذاری محوری در شرایط مرزی مختلف موردن بررسی قرار گرفته است. با توجه به این که کمانش در فاز کشسان فقط در پوسته‌های خیلی نازک اتفاق می‌افتد، از نظریه‌ی کلامیک فلوگه استفاده شده است. معادلات حاکم به صورت عددی حل شده‌اند تا باز بحرانی کمانش تحت شرایط تکیه‌گاهی مختلف موردن نظر به دست آید.

اخیراً روش‌های بی‌شبکه در بین روش‌های عددي به دلیل انعطاف‌پذیری بیشتر برای حل مسائل مکانیک جامدات با شرایط مرزی مختلف بسیار مورد توجه قرار گرفته است.^[۱] در این میان، روش MLPG به دلیل این که برخلاف سایر روش‌ها از هیچ نوع المانی به صورت آشکار با پنهان استفاده نمی‌کند، در بین روش‌های بدون شبکه جایگاه ویژه‌ی دارد. اساس این روش فرم ضعیف محلی و درون‌یابی است و در تحلیل انجام‌شده از تقریب حداقل مربوطات متخرک^۲ MLS به عنوان تابع درون‌یاب استفاده شده است. با توجه به کاربرد توابع آزمون مختلف در روش باقی مانده‌ی وزنی، روش بی‌شبکه‌ی یادشده به ششم دسته -- از ۱ MLPG^۶ تا ۱ MLPG^۱ تقسیم شده است.^[۲]

پوسته‌ی استوانه‌یی متشکل از مواد هدف‌مند^۳ FGM کامپوزیتی با ریزساختار ناهمگن است که خواص مکانیکی آنها به طور ملایم و پوسته‌ی از یک سطح به سطح دیگر جسم تغییر می‌کند. این مواد اولین بار در سال ۱۹۸۴ توسط دانشمندان علم مواد در ژاپن معرفی شد.^[۴] نوع رایج آن ترکیب پوسته‌یی از سرامیک و فلز است که در آن تغییر فلز و سرامیک از یک سطح به سطح دیگر کاملاً پوسته است، به‌گونه‌ی

۲. معادلات پوسته‌ی استوانه‌یی

پوسته‌ی استوانه‌یی جدارنازکی به طول L ، ضخامت h و شعاع متوسط R (شعاع پیش از تغییر شکل) چنان در نظر گرفته می‌شود که $R \gg h$. سطح میانی استوانه همانند شکل ۱ به دستگاه مختصات استوانه‌یی x, θ ارجاع داده شده و فاصله از سطح میانی با مختصات z اندازه‌گیری می‌شود. براساس فرض‌های اولیه، پوسته‌ی جداره نازک و کرنش‌ها کوچک است؛ همچنین مقطع مسطح که در ابتدا عمود بر

* نویسنده مسئول

تاریخ: دریافت ۱۷/۱۱/۱۳۹۰، اصلاحیه ۷/۸/۱۳۹۱، پذیرش ۱۲/۱۱/۱۳۹۱.

$$[D] = \begin{bmatrix} A_{11} & A_{12} & \circ & B_{11} & B_{12} & \circ \\ A_{12} & A_{21} & \circ & B_{12} & B_{21} & \circ \\ \circ & \circ & A_{66} & \circ & \circ & \circ \\ B_{11} & B_{12} & \circ & D_{11} & D_{12} & \circ \\ B_{12} & B_{21} & \circ & D_{12} & D_{21} & \circ \\ \circ & \circ & \circ & \circ & \circ & D_{66} \end{bmatrix} \quad (4)$$

[۴] درایه‌های ماتریس فوق برای یک پوسته‌ی استوانه‌بی FGM عبارت خواهد بود از:

$$(A_{ij}, B_{ij}, D_{ij}) = \int_{-h/2}^{h/2} Q_{ij}(\varphi, z, z') dz \quad (5)$$

Q_{ij} ها نیز چنین تعریف می‌شوند:

$$Q_{11} = Q_{22} = \frac{E(z)}{1 - \nu(z)}$$

$$Q_{12} = \frac{\nu(z)E(z)}{1 - \nu(z)}$$

$$Q_{22} = Q_{55} = Q_{66} = \frac{E(z)}{2(1 + \nu(z))} \quad (6)$$

کرنش‌ها و انحنایها در سطح میانی (تغییر شکل‌ها) در پوسته‌های استوانه‌بی طبق رابطه‌ی ۷ بیان می‌شود:

$$\begin{bmatrix} \varepsilon_x \\ \varepsilon_\theta \\ \varepsilon_{x\theta} \\ k_x \\ k_\theta \\ k_{x\theta} \end{bmatrix} = \begin{bmatrix} \frac{\partial}{\partial x} & \circ & \circ \\ \circ & \frac{1}{R} \frac{\partial}{\partial \theta} & \frac{1}{R} \\ \frac{1}{R} \frac{\partial}{\partial \theta} & \frac{\partial}{\partial x} & \circ \\ \circ & \circ & \frac{-\partial^2}{\partial x^2} \\ \circ & \frac{1}{R^2} \frac{\partial}{\partial \theta} & \frac{-1}{R^2} \frac{\partial^2}{\partial \theta^2} \\ \circ & \frac{1}{R} \frac{\partial}{\partial x} & \frac{-1}{R} \frac{\partial}{\partial x \partial \theta} \end{bmatrix} \begin{bmatrix} u \\ v \\ w \end{bmatrix} \quad (7)$$

۳. مواد هدفمند (FGM)

FGM ها مواد کامپوزیتی هستند که به لحاظ میکروسکوپی غیرهمگن‌اند و خصوصیات مکانیکی آنها به طور محسوس و پوسته از یک سطح به سطح دیگر تغییر می‌یابد. این امر با تغییر ترکیب ماده‌ی FGM — ناشی از تغییر پوسته در کسر حجمی مواد تشکیل دهنده — رخ می‌دهد. مواد FGM بهویه در محیط‌های با گرادیان دمای بالا کار برد دارند و عموماً از ترکیب یک سرامیک (با قابلیت‌های خاص در دماهای بالا) و یک فاز (با خواص مکانیکی مطلوب) ساخته می‌شوند. پوسته‌ی از ترکیب پوسته‌ی سرامیک و فاز در نظر گرفته شده (شکل ۱)، که خواص مکانیکی آن با توجه به نوع ترکیب، تغییرات پوسته‌ی در جهت ضخامت دارد. به این صورت که:

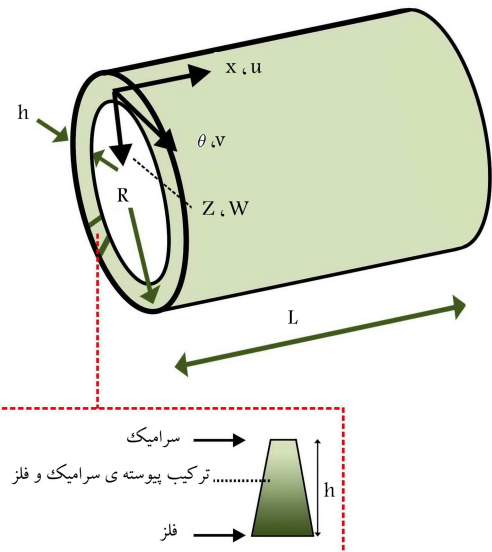
$$E(z) = E_m + E_{cm}V_f(z), E_{cm} = E_c - E_m$$

$$\nu(z) = \nu_m + \nu_{cm}V_f(z), \nu_{cm} = \nu_c - \nu_m$$

$$\rho(z) = \rho_m + \rho_{cm}V_f(z), \rho_{cm} = \rho_c - \rho_m \quad (8)$$

در روابط ۸ اندیس‌های m و c نشانگر خواص مربوط به فاز و سرامیک‌اند و $V_f(z)$ در تابع توزیع کسر حجمی توانی است که چنین تعریف می‌شود:

$$V_f(z) = \left(\frac{z}{h} + \frac{1}{2} \right)^N \quad (9)$$



شکل ۱. سیستم مختصات و هندسه‌ی پوسته.

سطح میانی بوده، پس از تغییر شکل نیز سطح و همچنان عمود بر سطح میانی تغییر شکل یافته، باقی می‌ماند.

با استفاده از بسط تیلور، براساس نظریه‌ی مرتبه‌ی اول برشی مؤلفه‌های تغییر مکان سه بعدی $u_x, u_\theta, u_z, u_x, u_\theta, u_z$ در جهات x, θ و z عبارت خواهد بود از:

$$\begin{aligned} u_x(x, \theta, z) &= u(x, \theta) - z \frac{\partial w}{\partial x}(x, \theta) \\ u_\theta(x, \theta, z) &= v(x, \theta) - z \frac{\partial w}{\partial \theta}(x, \theta) \\ u_z(x, \theta, z) &= w(x, \theta) \end{aligned} \quad (10)$$

که در آن w, v, u تغییر مکان‌های سطح مرجع‌اند. معادلات حاکم بر پوسته‌ی استوانه‌بی بر مبنای نظریه‌ی فلوگه و بر حسب نیروها و ممان‌های منتجه چنین تعریف می‌شوند:^[۶]

$$\begin{aligned} \frac{\partial N_{xx}}{\partial x} + \frac{1}{R} \frac{\partial N_{\theta x}}{\partial \theta} &= P \frac{\partial^2 u}{\partial x^2} \\ \frac{1}{R} \frac{\partial N_{\theta \theta}}{\partial \theta} + \frac{\partial N_{x\theta}}{\partial x} + \frac{1}{R} \frac{\partial M_{\theta \theta}}{\partial \theta} + \frac{1}{R} \frac{\partial M_{x\theta}}{\partial x} &= P \frac{\partial^2 v}{\partial x^2} \\ \frac{\partial^2 M_{xx}}{\partial x^2} + \frac{1}{R} \frac{\partial^2 M_{\theta \theta}}{\partial \theta^2} + \frac{2}{R} \frac{\partial^2 M_{x\theta}}{\partial x \partial \theta} - \frac{N_{\theta \theta}}{R} &= P \frac{\partial^2 w}{\partial x^2} \end{aligned} \quad (2)$$

که در آن P بار محوری اعمالی است. نیروها و ممان‌های منتجه و همچنان ماتریس D نیز مطابق رابطه‌های ۳ و ۴ تعریف می‌شود:

$$\begin{bmatrix} N_x \\ N_\theta \\ N_{x\theta} \\ M_x \\ M_\theta \\ M_{x\theta} \end{bmatrix} = [D] \begin{bmatrix} \varepsilon_x \\ \varepsilon_\theta \\ \varepsilon_{x\theta} \\ k_x \\ k_\theta \\ k_{x\theta} \end{bmatrix} \quad (3)$$

زیردامنهای مذکور و v_I مقادیرگرهی هستند. کمینه‌کردن Γ منجر به رابطه‌ی خطی ۱۴ خواهد شد:

$$\mathbf{B}(\mathbf{x})\mathbf{b}(\mathbf{x}) = \mathbf{A}(\mathbf{x})\mathbf{v} \quad (14)$$

که در آن:

$$\mathbf{B}(\mathbf{x}) = \sum_{I=1}^n \omega(\mathbf{x} - \mathbf{x}_I) \mathbf{q}(\mathbf{x}_I) \mathbf{q}^T(\mathbf{x}_I) \quad (15)$$

$$\mathbf{A}(\mathbf{x}) = [\omega(\mathbf{x} - \mathbf{x}_1)\mathbf{q}(\mathbf{x}_1), \dots, \omega(\mathbf{x} - \mathbf{x}_n)\mathbf{q}(\mathbf{x}_n)] \quad (16)$$

پس با محاسبه‌ی $\mathbf{b}(\mathbf{x})$ از رابطه‌ی ۱۴ و جایگذاری آن در رابطه‌ی ۱۱ معادله‌ی ۱۷ به دست خواهد آمد:

$$v^h(\mathbf{x}) = \sum_{I=1}^n N_I(\mathbf{x}) v_I \quad (17)$$

که در آن تابع شکل $N_I(\mathbf{x})$ عبارت است از:

$$N_I(\mathbf{x}) = \mathbf{q}^T(\mathbf{x}) \mathbf{B}^{-1}(\mathbf{x}) \mathbf{q}_I(\mathbf{x}) \omega(\mathbf{x} - \mathbf{x}_I) \quad (18)$$

تابع وزن نقش مهمی در روش‌های بدون شبکه ایفا می‌کنند. در این مقاله تابع اسپلاین درجه ۳ به عنوان تابع وزن در نظر گرفته شده که تابعی از d_w یا شعاع دامنه‌ی تعریف شده برای تقریب است:

$$\omega(s) = \begin{cases} \frac{1}{4} - 4s^2 + 4s^3, & s \leq \frac{1}{4} \\ \frac{1}{4} - 4s + 4s^2 - \frac{1}{4}s^3, & \frac{1}{4} < s \leq 1, \quad s = \frac{|x-x_I|}{d_w} \\ 0, & s > 1 \end{cases} \quad (19)$$

در روش بدون شبکه‌ی محلی پتروف گلرکین معمولاً برای رسیدن به فرم ضعیف از روش باقیمانده‌ی وزنی استفاده می‌شود. در صورتی که تابع آزمون به کار گرفته شده مشابه تابع میدان باشد، روش به صورت MLS با روش بی‌شبکه‌ی محلی گلرکین خواهد بود.

۵. حل معادلات میدان

در این نوشتار در فرمول‌بندی روش بی‌شبکه‌ی پتروف گلرکین به جای استفاده از روش باقیمانده‌ی وزنی از فرم تغییرات در هر زیردامنه استفاده شده است. فرم تغییرات در زیردامنه حول هر گره انتگرال‌گیری می‌شود. همچنین فرم تغییرات معادلات فلوکه بر حسب جایه‌جایی‌ها، مطابق رابطه ۲۰ بیان خواهد شد:

$$\Pi = \Pi_K(u, v, w) + \Pi_{K_g}(u, v, w)$$

$$\begin{aligned} \Pi_K(u, v, w) &= \frac{1}{2} \int_{\Omega_s} \left(\left[A_{11} u_{,x} + \frac{1}{R} A_{12} (v_{,\theta} + w) \right] u_{,x} \right. \\ &\quad \left. + \left[A_{12} u_{,x} + \frac{1}{R} A_{22} (v_{,\theta} + w) \right] \frac{1}{R} (v_{,\theta} + w) \right. \\ &\quad \left. + A_{66} \left(\frac{u_{,\theta}}{R} + v_{,x} \right)^r + (D_{11} w_{,xx} - \frac{D_{12}}{R^r} w_{,\theta\theta}) w_{,xx} \right. \\ &\quad \left. + \frac{1}{R} [D_{12} w_{,xx} - \frac{D_{22}}{R^r} w_{,\theta\theta}] \frac{1}{R^r} w_{,\theta\theta} + D_{55} \left(\frac{1}{R^r} w_{,x\theta} \right)^r \right) d\Omega_s \end{aligned}$$

$$\Pi_{K_g}(u, v, w) = \frac{1}{2} \int_{\Omega_s} P \left((u_{,x})^r + (v_{,x})^r + (w_{,x})^r \right) d\Omega_s \quad (20)$$

جدول ۱. خواص مکانیکی مواد تشکیل دهنده‌ی پوسته‌ی FGM

دی اکسید زیرکونیوم		فولاد بدون زنگ	
v	E (N/m ²)	v	E (N/m ²)
۰	۰	۰	P_{-1}
$0,288$	$244,27 \times 10^9$	$0,3262$	$20,104 \times 10^9$
$1/13 \times 10^{-4}$	$1,-37 \times 10^{-3}$	-2×10^{-4}	$3,08 \times 10^{-4}$
۰	$1,21 \times 10^{-4}$	$3,8 \times 10^{-7}$	$-6,53 \times 10^{-7}$
۰	-۳,۸۶	۰	P_7
5700 (Kgm ³)		8166 (Kgm ³)	
ρ			

مقدار N نشان‌دهنده‌ی تغییرات مواد در راستای ضخامت است. به عنوان مثال $N = \infty$ یا $N = 0$ نشان‌دهنده‌ی پوسته‌ی ایزوتropیک ساخته شده از سرامیک یا فلز است. مواد هدف‌مند تحمل حرارتی بالایی دارند و نمی‌توان از ارتباط بین دما و خواص مکانیکی صرف نظر کرد. P_i به عنوان خاصیت مکانیکی ماده به صورت تابعی از دما بیان خواهد شد:^[۸]

$$P_i = P_0 (P_{-1} T^{-1} + 1 + P_1 T + P_2 T^2 + P_3 T^3) \quad (10)$$

خواص مکانیکی مواد تشکیل دهنده‌ی یکی از انواع مواد هدف‌مند در جدول ۱ ارائه شده است.^[۹] (دما بر حسب کلوین است).

۴. تقریب حداقل مربعات متوجه MLPG و روش

در حالت کلی هر روش بدون شبکه با استفاده از یک درون‌باب یا تقریب محلی، نشان‌گر تابع امتحان با مقادیر مجازی از متغیرهای مجھول در تعدادی از گره‌های تصادفی در هر زیردامنه است. در این میان تقریب حداقل مربعات متوجه (MLS) دقت بسیار بالایی دارد و به راحتی برای مسائل n بعدی قابل استفاده است.

اگر Ω_x دامنه‌ی تعریف تقریب برای تابع میدان جایه‌جایی در گره x باشد که روی دامنه‌ی کلی مسئله واقع شده است، به منظور تقریب زدن توزیع تابع v در Ω_x برای تعداد گره‌های (x_I) که در این زیردامنه واقع شده‌اند، MLS به جای v , $v^h(x)$ را تعریف می‌کنند:

$$v^h(x) = \sum_{I=1}^m q_I(x) b_I(x) = \mathbf{q}^T(\mathbf{x}) \mathbf{b}(\mathbf{x}) \quad (11)$$

که در آن $\mathbf{q}^T(\mathbf{x})$ شامل پایه‌های تک جمله‌ی و m تعداد توابع پایه، و همچنین برداری شامل ضرایب مجھول هستند. برای مثال در مسائل یک‌بعدی $\mathbf{q}^T(\mathbf{x})$ ممکن است مطابق رابطه ۱۲ باشد:

$$\mathbf{q}^T = [1, x, x^r, x^{rr}] , m = 4 \quad (12)$$

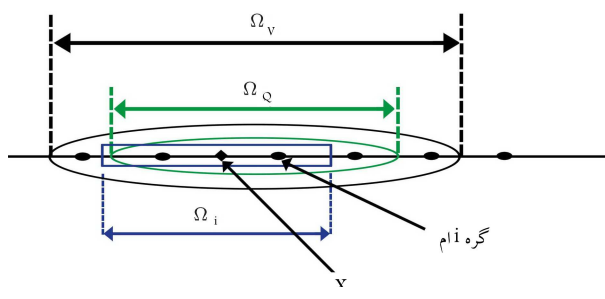
بردار $\mathbf{b}(\mathbf{x})$ با میتی‌مايزکردن نرم L_2 ، چنین به دست می‌آید:

$$\Gamma = \sum_{I=1}^n \omega(\mathbf{x} - \mathbf{x}_I) (\mathbf{q}^T(\mathbf{x}_I) \mathbf{b}(\mathbf{x}) - v_I)^r \quad (13)$$

که در آن $\omega(\mathbf{x} - \mathbf{x}_I)$ تابع وزن نسبت به گره I است که همواره برای تمام x ‌های واقع در Ω_x خواهیم داشت: $\omega(\mathbf{x}_I) > 0$.

با اعمال روش جداسازی، متغیرهای میدان برای یک پوسته‌ی استوانه‌ی را می‌توان به صورت توابعی از مدهای محیطی و محوری در نظر گرفت. یعنی می‌توان نشان داد که برای هر مده محیطی n ، مؤلفه‌های میدان جابه‌جایی به صورت معادلات ۲۱ قابل تعریف‌اند:

$$\begin{aligned} u(x, \theta) &= U(x) \cos(n\theta) \\ v(x, \theta) &= V(x) \sin(n\theta) \\ w(x, \theta) &= W(x) \cos(n\theta) \end{aligned} \quad (21)$$



شکل ۲. دامنه‌ی تابع آزمون Ω_v ، دامنه‌ی انتگرال‌گیری Ω_Q برای گره گام، دامنه درون‌یابی Ω_i برای نقطه گاوی x_Q .

انتگرال‌گیری برای بهکارگیری تربیع گاوی نیاز است، و در هر نقطه‌ی گاوی (x_Q) دامنه‌ی درون‌یابی مشخص می‌شود (شکل ۲). در روش بهکاربرده شده دامنه‌ی انتگرال‌گیری و دامنه‌ی تابع آزمون یکسان‌اند.

۶. شرایط مرزی

در شرایط مختلف، بسته به این که انتهای پوسته به صورت تکیه‌گاه ساده یا مفصلی، بسته یا گیردار، و آزاد باشد روابط ۲۹ تا ۳۱ برقرار است:

دو انتهای ساده:

$$v = w = M_{xx} = N_{xx} = 0, \text{ at } x = 0, x = L \quad (29)$$

دو انتهای گیردار:

$$u = v = w = w_{,x} = 0, \text{ at } x = 0, x = L \quad (30)$$

در $x = 0$ بسته و انتهای دیگر آزاد:

$$u = v = w = w_{,x} = 0, \text{ at } x = 0$$

$$N_{xx} = M_{xx} = N_{x\theta} + M_{x\theta} = M_{xx,x} + M_{x\theta,x} = 0,$$

$$\text{at } x = L \quad (31)$$

۷. بحث و جمع‌بندی

خواص مؤثر ماده (P_i)، نظریه مدول یانگ (E_i) یا ضریب انبساط گرمایی (α_i)، برای لایه‌ی FGM به صورت تابعی غیر خطی از دما در نظر گرفته شده است. چنان‌که پیش‌تر اشاره شد مواد FGM تحمل حرارتی بالایی دارند و نمی‌توان از ارتباط بین دما و خواص مکانیکی آن صرف نظر کرد. مقادیر استاندارد مدول یانگ، چگالی و ضریب پواسون برای پوسته‌یی مشتمل از فولاد زنگ‌زن و دی‌اکسید زیرکونیوم در جدول ۱ ارائه شده است.

در ادامه نمودارهایی به منظور پیش‌بینی بار بحرانی کمانش پوسته‌های استوانه‌یی هدفمند در دمای اتاق ارائه شده است. دقت و سودمندی روش بی‌شبکه‌ی محلی پتروف گلرکین در تحلیل کمانش پوسته‌های استوانه‌یی تحت بارگذاری محوری، با مقایسه‌ی نتایج حاصل از حل دقیق آن بررسی شده است. قابل ذکر است که در

که در آن مؤلفه‌های میدان جابه‌جایی در سمت راست تساوی با حروف بزرگ، توابعی از مدهای محوری‌اند و n شماره‌ی مده محیطی است. با بهکارگیری روش جداسازی فوق و جایگذاری آنها در فرم تغییرات معادلات پوسته، رابطه‌ی ۲۲ به دست خواهد آمد:

$$\Pi = \frac{1}{4} \pi R \int \int (\mathbf{B}^T \mathbf{D} \mathbf{B} + \mathbf{G}^T \mathbf{I} \mathbf{G}) dx d\theta \quad (22)$$

و سیستم معادلات عبارت خواهد بود از:

$$([\mathbf{K}] - P_{cr} [\mathbf{K}_g]) \{\mathbf{X}\} = 0 \quad (23)$$

بردار \mathbf{X} برداری شامل جابه‌جایی گره‌های است و چنین تعریف می‌شود:

$$\mathbf{X} = \begin{bmatrix} u & v & w \end{bmatrix}^T, w = \begin{bmatrix} w_w & w_\theta \end{bmatrix}^T \quad (24)$$

ماتریس سفتی $[\mathbf{K}]$ و ماتریس سفتی هندسی $[\mathbf{K}_g]$ نیز عبارت‌اند از:

$$[\mathbf{K}] = \frac{1}{2} \pi R \int \int (\mathbf{B}^T \mathbf{D} \mathbf{B}) dx d\theta \quad (25)$$

$$[\mathbf{K}_g] = \frac{1}{2} \pi R \int \int (\mathbf{G}^T \mathbf{I} \mathbf{G}) dx d\theta \quad (26)$$

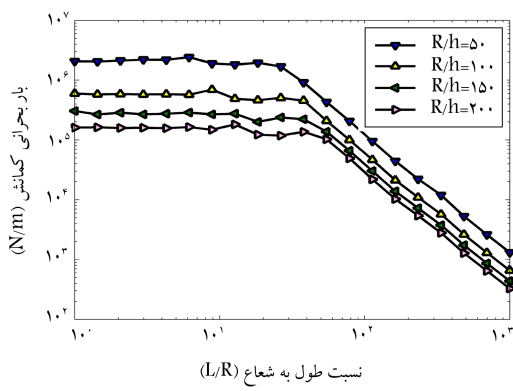
ماتریس D طبق معادله‌ی ۴ بیان می‌شود و سایر ماتریس‌ها به صورت معادلات ۲۷ و ۲۸ قابل تعریف‌اند:

$$[\mathbf{B}] = \begin{bmatrix} N_{I,x} & 0 & 0 & 0 \\ 0 & \frac{n}{R} N_I & \frac{1}{R} N_I^w & \frac{1}{R} N_I^\theta \\ -\frac{n}{R} N_I & N_{I,x} & 0 & 0 \\ 0 & 0 & -N_{I,xx}^w & N_{I,xx}^\theta \\ 0 & \frac{n}{R} N_I & \frac{n}{R} N_I^w & \frac{n}{R} N_I^\theta \\ 0 & \frac{n}{R} N_{I,x} & \frac{n}{R} N_{I,x}^w & \frac{n}{R} N_{I,x}^\theta \end{bmatrix} \quad (27)$$

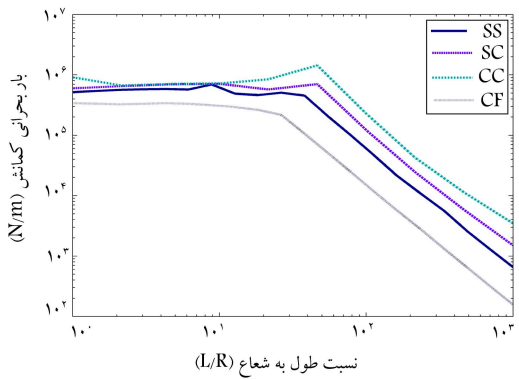
$$[\mathbf{G}] = \begin{bmatrix} N_{I,x} & 0 & 0 & 0 \\ 0 & N_{I,x} & 0 & 0 \\ 0 & 0 & N_{I,x}^w & N_{I,x}^\theta \end{bmatrix} \quad (28)$$

که در آنها N_I همان تابع شکل MLS، N_I^w و N_I^θ توابع شکل تعیین‌یافته، I شماره‌ی مده محیطی و n ماتریس همانی هستند. با جایگذاری ماتریس‌های فوق، حل یک مسئله‌ی مقدار ویژه (معادله‌ی ۲۳) به صورت یک‌بعدی، منجر به یافتن بارهای بحرانی کمانشی خواهد شد.

برای حل معادلات ۲۵ و ۲۶ از روش انتگرال‌گیری عددی استفاده می‌شود، که در این نوشتار تربیع گاوی بهکارگرفته شده است. برای هر گره x به یک دامنه‌ی



شکل ۵. تأثیر ضخامت پوسته‌ی استوانه‌بی ب رفتار کمانش پوسته.



شکل ۶. تأثیر شرایط مرزی بر رفتار کمانش پوسته‌ی استوانه‌بی فولاد بدون زنگ / دی اکسید زیرکونیوم ($R/h = 10^0$).

مقادیر مختلف توان در رابطه‌ی قانون توازی نشان داده شده است. نتایج به دست آمده نشان می‌دهد پوسته‌ی فلزی (یعنی در حالت $N = \infty$) کمترین بار کمانشی، و پوسته‌ی سرامیکی (یعنی در حالت $N = 0$) بیشترین بار کمانشی بحرانی را دارد. این رفتار قابل انتظار است، چرا که سفتی پوسته‌ی فلزی در مقایسه با پوسته‌ی سرامیکی کمتر است. منحنی مربوط به دیگر مقادیر N هم درین این دو محدوده، مابین فلز خالص و سرامیک خالص، قرار گرفته‌اند. این امر ناشی از تغییر خواص مکانیکی پوسته‌ی FGM از سرامیکی به فلزی است. در شکل ۵، تأثیر ضخامت پوسته‌ی استوانه‌بی بر منحنی‌های بار بحرانی برحسب نسبت طول به شعاع استوانه، برای پوسته‌ی استوانه‌بی فولاد بدون زنگ / دی اکسید زیرکونیوم با شاخص کسر حجمی مختلف نشان داده شده است. مقایسه مقادیر $N = 10$ -- تحت بارگذاری محوری -- نشان داده شده است. مقایسه مقادیر مختلف $R/h = 5^0$ تا $R/h = 20^0$ در این نمودار نشان می‌دهد که کاهش ضخامت یا افزایش نسبت R/h موجب کاهش قابل ملاحظه‌ی بار کمانشی خواهد شد. یعنی می‌توان گفت با کاهش ضخامت، مقاومت پوسته در برابر بار محوری کاهش می‌یابد.

تأثیر شرایط مرزی روی رفتار کمانش پوسته‌های استوانه‌بی فولاد بدون زنگ / دی اکسید زیرکونیوم با شاخص حجمی $N = 10$ درحوزه‌ی وسیعی از نسبت طول به شعاع در شکل ۶ نشان داده شده است. چنان‌که مشخص است، بار کمانشی پوسته در شرایط مرزی دو سرگیردار در مقایسه با پوسته‌ی استوانه‌بی با شرایط دیگر بیشتر است. همچنین پوسته‌ی یک سر آزاد و یک سرگیردار دارای کمترین بار کمانشی است.

نکته‌ی دیگری که می‌توان از این شکل دریافت، این است که بهای مقادیر

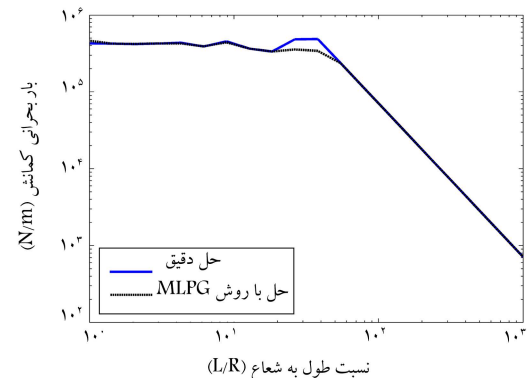
شرایط مرزی تکیه‌گاه ساده، پاسخ زیر در معادلات دیفرانسیل ۲ صدق می‌کند.

$$\begin{aligned} u(x, \theta) &= \sum_{m,n=1}^{\infty} U_{mn} \cos(n\theta) \cos\left(\frac{m\pi}{l}x\right) \\ v(x, \theta) &= \sum_{m,n=1}^{\infty} V_{mn} \sin(n\theta) \sin\left(\frac{m\pi}{l}x\right) \\ w(x, \theta) &= \sum_{m,n=1}^{\infty} W_{mn} \cos(n\theta) \sin\left(\frac{m\pi}{l}x\right) \end{aligned} \quad (۳۲)$$

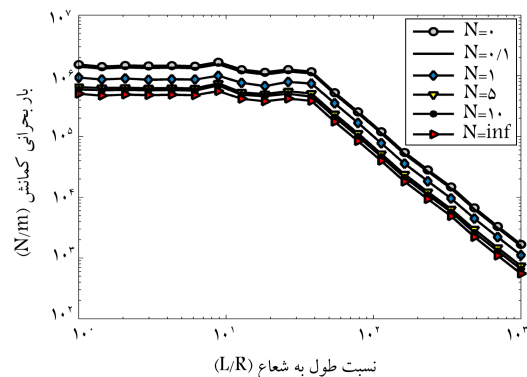
که در آن m و n شماره مدهای محوری و محیطی‌اند. بنابراین در شرایطی که دو انتهای روی تکیه‌گاه ساده قرار گرفته‌اند، با جایگذاری روابط ۳۲ در معادلات حاکم، معادله‌ی ساده‌ی $\{X\} = 0$ $([K] - \tilde{N}_x [K_g]) \{X\} = 0$ به دست خواهد آمد، که حل آن در واقع همان حل دقیق مسئله خواهد بود. درایه‌های ماتریس‌های سفتی و سفتی هندسی در پیوست ارائه شده است.

در شکل ۳ منحنی بار بحرانی برحسب نسبت طول به شعاع استوانه برای پوسته‌ی استوانه‌بی هدفمند با ضخامتی معادل 10^0 شعاع استوانه و در دمای اتاق، طبق نظریه‌ی فلزگاه با روش MLPG و همچنین منحنی حاصل از حل دقیق نشان داده شده است. چنان‌که مشاهده می‌شود نتایج به دست آمده از حل دقیق و روش عددی به خوبی با هم مطابقت دارند.

در شکل ۴ منحنی بار بحرانی برحسب نسبت طول به شعاع استوانه برای پوسته‌ی استوانه‌بی FGM، با ضخامتی معادل 10^0 و در دمای اتاق، بهای مقادیر



شکل ۳. منحنی بار بحرانی برحسب نسبت طول به شعاع استوانه برای پوسته‌ی استوانه‌بی FGM با روش MLPG و مقایسه با حل دقیق ($R/h = 10^0$).



شکل ۴. منحنی بار بحرانی برحسب نسبت طول به شعاع استوانه برای پوسته‌ی استوانه‌بی FGM، بهای مقادیر مختلف توان در رابطه‌ی قانون توازی.

شرایط مرزی دو سرگیردار بیشترین بار کمانشی را نسبت به پوسته‌ی استوانه‌یی با شرایط دیگر دارد. نتایج به خوبی گواه بر دقت و سرعت بالا در روش بی‌شیوه‌یی محلی پتروف گلرکین (MLPG) است. از آنجا که این روش براساس روابط محلی پایگذاری شده، پس می‌تواند تمامی روش‌های بی‌شیوه‌یی دیگر را که بر روابط کلی پایگذاری شده‌اند، در برگیرد.

یکی دیگر از مزایای روش MLPG بی‌نیازی از سرهم کردن ماتریس سفتی المان‌ها برای تشکیل ماتریس سفتی کل -- همانند روش المان محدود -- است. با تغییر کسر حجمی (N) خواص پوسته‌یی استوانه‌یی از سرامیک به فاز غیرمی‌کند، به‌گونه‌یی که یک سطح از جنس سرامیک خالص و یک سطح فاز خالص، و بین دو سطح ترکیب پوسته‌یی از هر دو جنس است. یکی از مزایای مواد FGM، در مقایسه با مواد کامپوزیت لایه‌یی، عدم گستگی در محل اتصال لایه‌هاست.

خاصی از نسبت R/L ، برای مثال در شرایط مرزی دو سر ساده تا حدوداً ۹۰، مقدار بار بحرانی کمانش مستقل از تأثیر پارامتر هندسی R/L است، ولی به ازای نسبت‌های بزرگ‌تر، بار بحرانی کمانش شدیداً تحت تأثیر پارامتر هندسی R/L قرار دارد.

۸. نتیجه‌گیری

با توجه به نتایج به دست آمده به طور خلاصه می‌توان نتیجه گرفت که پارامترهای هندسی روی بار بحرانی کمانش پوسته اثر قابل توجهی دارند. کاهش ضخامت یا افزایش نسبت R/h موجب کاهش چشمگیر بار کمانشی خواهد شد. اثر شرایط مرزی روی بار بحرانی کمانش پوسته‌های استوانه‌یی محسوس است. پوسته‌ی دارای

پانوشت‌ها

1. Meshless Local Petrov-Galerkin
2. Moving least squares
3. Functionally graded material
4. generalized moving least squares

منابع (References)

1. Liew, K.M., Zhao, X, and Ferreira, A.J.M. "A review of meshless methods for laminated and functionally graded plates and shells", *Composite Structures*, **93**, pp. 2031-2041 (2011).
2. Atluri, S.N. and Shen, S.P. "The meshless local petrov-galerkin (MLPG) method: A simple & less-costly alternative to the finite element methods", *Computer Modeling in Engineering & Sciences*, **3**(1), pp. 11-51 (2002).

3. Atluri, S. and Zhu, T. "A new meshless local petrov galerkin (MLPG) approach in computational mechanics", *Comput Mech*, **22**, pp. 117-27 (1998).
4. J.B. Holt, "Functionally Gradient Materials", Michigan: American Ceramic Society (1993).
5. Koizumi, M. "The concept of FGM ceramic transactions", *Funct Gradient Mater*, **34**, pp. 3-10 (1990).
6. Jones, I.A. "Flugge shell theory and solution for orthotropic cylindrical shells under pinching loads", *Composite Structures*, **42**(1), pp. 53-72 (1998).
7. Naeem, M.N. "Prediction of natural frequencies for functionally graded cylindrical shells", PhD thesis, UMIST, UK (2004).
8. Touloukian, Y.S., *Thermophysical Properties of High Temperature Solid Materials*, New York, Macmillian (2004).
9. Ansari, R. and Darvizeh M. "Prediction of dynamic behavior of FGM shells under arbitrary boundary conditions", *Composite Structures*, **85**, pp. 284-292 (2008).

پیوست

$$[\mathbf{K}_g] = \begin{bmatrix} -\left(\frac{m\pi}{L}\right)^4 & \circ & \circ \\ \circ & -\left(\frac{m\pi}{L}\right)^4 & \circ \\ \circ & \circ & -\left(\frac{m\pi}{L}\right)^4 \end{bmatrix}$$

در حل دقیق، ماتریس‌های \mathbf{K} و \mathbf{K}_g که از جایگذاری معادلات ۳۲ در معادلات حاکم به دست می‌آیند عبارت‌اند از:

$$[\mathbf{K}] = \begin{bmatrix} L_{11} & L_{12} & L_{13} \\ L_{21} & L_{22} & \mathbf{L}_{23} \\ L_{31} & L_{32} & L_{33} \end{bmatrix}$$

$$L_{11} = -(A_{11} + \frac{B_{11}}{R})(\frac{m\pi}{L})^t - (\frac{n^r}{R^t})(A_{12} - \frac{B_{12}}{R} + \frac{D_{12}}{R^t})$$

$$L_{12} = \frac{n}{R}(A_{11} + A_{12} + \frac{B_{11}}{R} + \frac{B_{12}}{R})(\frac{m\pi}{L})$$

$$L_{13} = (B_{11} + \frac{D_{11}}{R})(\frac{m\pi}{L})^t + \frac{1}{R}(A_{12} + (\frac{n^r - 1}{R})B_{12} + (\frac{n^r - 1}{R})^t D_{12})$$

$$L_{21} = -L_{11}$$

$$L_{22} = -(A_{22} + \frac{B_{22}}{R})(\frac{m\pi}{L})^t - (\frac{n^r}{R^t})(A_{23} - \frac{B_{23}}{R} + \frac{D_{23}}{R^t})$$

$$-(\frac{n^r}{R^t})(A_{12} + \frac{n^r}{R}B_{12})$$

$$L_{23} = -(\frac{n}{R})(A_{22} + \frac{n^r}{R}B_{22})$$

$$+ \frac{n}{R}(B_{12} + \frac{1}{R}B_{22} + \frac{D_{12}}{R} + \frac{n^r}{R}D_{22})$$

$$L_{31} = L_{12}$$

$$L_{32} = -L_{21}$$

$$L_{33} = D_{11}(\frac{m\pi}{L})^t + \frac{1}{R}(B_{12} + \frac{n^r}{R}D_{12} + \frac{n^r}{R}D_{22})(\frac{m\pi}{L})^t$$

$$+ \frac{1}{R^t}(A_{12} + (\frac{n^r - 1}{R})B_{12} + (\frac{n^r - 1}{R})^t D_{12})$$

